

PROJET INFORMATIQUE

Rapport d'analyse

Cycle Ingénieur de l'ENSG 3<sup>ème</sup> année

---

# Intégration de la constellation Glonass dans une application Android de positionnement GNSS : GeolocPVT

---



**Lenhof Edgar**

Octobre-Décembre 2019

Non confidentiel    Confidentiel IGN    Confidentiel Industrie    Jusqu'au ...



# Table des matières

<b>Glossaire et sigles utiles</b>	<b>5</b>
<b>Introduction</b>	<b>7</b>
<b>Contexte du projet</b>	<b>8</b>
Présentation du commanditaire . . . . .	8
Problématique . . . . .	8
Enjeux . . . . .	8
<b>Objectif et analyse</b>	<b>10</b>
Objectifs de l'étude . . . . .	10
Analyse de l'étude . . . . .	10
Refonte des classes d'éphémérides . . . . .	10
Récupération des données d'éphémérides par message de navigation . . . . .	12
Récupération des données d'éphémérides par streams RTCM . . . . .	12
Calcul de position des satellites . . . . .	12
Intégration au calcul de moindres carrés pour le positionnement récepteur . . . . .	12
Planning prévisionnel . . . . .	13
<b>Etude technique</b>	<b>14</b>
Structure des messages de navigation Glonass . . . . .	14
Récupération des observables Glonass . . . . .	15
Android GnsMeasurement . . . . .	15
Android GnsNavigationMessage . . . . .	16
Calcul des coordonnées des satellites Glonass . . . . .	16
<b>Travail réalisé</b>	<b>19</b>
Refonte des classes d'éphémérides . . . . .	19
Récupération et décodage des messages de navigation . . . . .	19
Positionnement des satellite à partir des données d'éphémérides . . . . .	20
Récupération et décodage des messages RTCM . . . . .	21
Rédaction de la documentation . . . . .	21
<b>Essais et résultats</b>	<b>22</b>
Test des récupération d'éphémérides . . . . .	22
Récupération par message de navigation . . . . .	22
Récupération par streams RTCM . . . . .	22
Exemple de données d'éphéméride récupérées . . . . .	23
Comparaison des résultats de positionnement des satellites . . . . .	24
Comparaison du résultat de position . . . . .	24

Différence d'implémentation du calcul du GMST . . . . .	24
Comparaison du résultat de position en prenant en compte la différence de GMST	25
Test global du positionnement utilisateur avec Glonass . . . . .	26
<b>Bilan</b>	<b>27</b>
Gestion de projet . . . . .	27
Difficultés rencontrées . . . . .	28
Perspectives d'amélioration . . . . .	28
Validation du positionnement satellite . . . . .	28
Intégrer Glonass au reste du calcul de position récepteur . . . . .	28
Validation du message de navigation avec le code de Hamming . . . . .	28
Refonte des classes de décodage des messages RTCM . . . . .	29
Décoder le message de navigation Galileo . . . . .	29
Tri des fonctionnalités gogps . . . . .	29
 <b>Conclusion</b>	 <b>30</b>
 <b>Bibliographie</b>	 <b>33</b>

# Glossaire et sigles utiles

---

- API** Interface de programmation
- Beidou** Constellation satellite chinoise
- ECEF** système de coordonnées Earth-Centered Earth-Fixed
- ECI** Earth Centered Inertial
- ENSG** École Nationale des Sciences Géographiques
- ESA** European Space Agency
- Galileo** Constellation satellite européenne
- GAST** Greenwich Apparent Sideral Time
- Glonass** Système Global de Navigation Satellitaire (Russe)
- GMST** Greenwich Mean Sideral Time
- GNSS** Global Navigation Satellite System
- GPS** Global Positioning System
- GSA** European GNSS Agency
- ICD** Interface Control Document
- IFSTTAR** Institut Français des Sciences et Technologies des Transports, de l'Aménagement et des Réseaux, devenu Université Gustave Eiffel au 1er janvier 2020
- IGS** International GNSS Service
- package** regroupement(s) distinct(s) de classes
- PFE** Projet de Fin d'Etudes
- PPMD** Photogrammètrie Positionnement et Mesure de Déformation
- PRN** Indice du satellite au sein de sa constellation
- RK4** Runge-Kutta 4
- RTCM** Radio Technical Commission for Maritime Services
- SPP** Single Point Positioning
- TAI** Temps Atomique International
- UML** Langage de Modélisation Unifié
- UTC** Universal Time Coordinated



# Introduction

---

Un système de positionnement par satellites, ou Global Navigation Satellite System ([GNSS](#)), est un ensemble de composants reposant sur une constellation de satellites artificiels permettant de fournir à un utilisateur par l'intermédiaire d'un récepteur sa position, sa vitesse et l'heure par multilatération.

Il existe différentes constellations de satellite mondiales ou régionales qui peuvent être utilisées simultanément, comme la constellation américaine Global Positioning System ([GPS](#)) ou le Système Global de Navigation Satellitaire (Russe) ([Glonass](#)).

Dans le cadre de la troisième année du cycle ingénieur de l'École Nationale des Sciences Géographiques ([ENSG](#)) dans la filière Photogrammétrie Positionnement et Mesure de Déformation ([PPMD](#)), nous sommes tenus de réaliser un projet informatique. Celui-ci se réalise en deux temps, une étape d'analyse suivie d'une étape de réalisation.

Mon projet a pour objectif l'ajout et l'intégration des observables des satellites du système [Glonass](#) au processus de calcul de positionnement [GNSS](#) de l'application Android GEOLCPVT, développée par le laboratoire GEOLOC de l'Université Gustave Eiffel/Institut Français des Sciences et Technologies des Transports, de l'Aménagement et des Réseaux, devenu Université Gustave Eiffel au 1er janvier 2020 ([IFSTTAR](#)).

# Contexte du projet

---

## Présentation du commanditaire

L'[IFSTTAR](#) est un établissement public à caractère scientifique et technologique, placé sous la tutelle de l'université Gustave Eiffel.

Au premier janvier 2020, l'IFSTTAR a fusionné avec l'Université Paris-Est Marne-la-Vallée pour créer l'Université Gustave Eiffel. L'ENSG est une école-composante de l'Université Gustave Eiffel.

En particulier, le laboratoire GEOLOC qui a commandé le projet, mène des recherches et expertises sur les méthodes et systèmes de géolocalisation afin d'accompagner l'évolution des pratiques de mobilité et des moyens de transport. Il fait notamment parti du *Raw GNSS Measurement Task Force*, un groupe de recherche créé par l'European GNSS Agency ([GSA](#)) dont l'objectif est de tester l'exploitation et l'utilisation des mesures GNSS brutes sous Android [\[14\]](#).

## Problématique

En mai 2016, Google a annoncé la disponibilité des données brutes du *chipset GNSS* embarqué dans les nouveaux smartphones à partir d'Android 7. Il devient ainsi possible d'accéder aux mesures de phase et de code, décoder les messages de navigation des satellites à partir des dispositifs Android et développer une application de positionnement transparente.

Qui plus est, avec la mise sur le marché de smartphones intégrant des puces GNSS bi-fréquences ( $L_1$  et  $L_5$ ), apparaît la possibilité d'un positionnement de précision par smartphone.

L'application Android GEOLOCPVT développée par l'Université Gustave Eiffel/IFSTTAR dans le cadre de précédents stages étudiants [\[17, 16, 13\]](#) permettait jusqu'à présent de :

- acquérir les observables des constellation GPS, Constellation satellite chinoise ([Beidou](#)) et Constellation satellite européenne ([Galileo](#)) en fréquence  $L_1$  et  $L_5$
- récupérer les *streams* Radio Technical Commission for Maritime Services ([RTCM](#)) depuis un serveur de l'International GNSS Service ([IGS](#))
- utiliser les observables et les *streams* de correction afin de faire du positionnement Single Point Positioning ([SPP](#))
- enregistrer les observables, corrections et positions calculées dans la mémoire du smartphone

## Enjeux

Le positionnement de précision à partir d'un objet aussi répandu qu'un smartphone permet d'envisager de nombreuses applications. Toutefois les performances restent limitées à trois fac-

teurs importants : la qualité de l'électronique, les algorithmes de calcul et le nombre de satellites visibles.

Jusqu'à présent, il était possible de déchiffrer les messages de navigation des observables **GPS** uniquement.

En décryptant les messages de navigation des observables **Glonass**, on ajoute une redondance d'information pour le calcul des moindres carrés.

De plus, la constellation **Glonass** permet de se positionner aux hautes latitudes du fait de l'orbite des satellites.



(a) Trace d'un satellite GPS (BIIRM-8) [15]



(b) Trace d'un satellite Glonass (COSMOS-2492) [15]

FIGURE 1 – Traces GPS et Glonass

# Objectif et analyse

---

## Objectifs de l'étude

Les principaux objectifs du projet à atteindre consistent à :

- Acquérir les observables [Glonass](#) sur l'application
- Acquérir et décoder les messages de navigations [Glonass](#)
- Obtenir les orbites et horloges précises [Glonass](#) des *streams* [RTCM](#) depuis le serveur [IGS](#)
- Intégrer la constellation [Glonass](#) au calcul [SPP](#)
- Rédiger la documentation de l'application (READ ME, documentation développeur et utilisateur)

## Analyse de l'étude

Durant mon analyse, j'ai cerné les différentes étapes et méthodes d'implémentation à réaliser pour atteindre les objectifs fixés. Les diagrammes de classes de l'application initiale sont disponibles en [annexe A](#).

## Refonte des classes d'éphémérides

Lorsqu'au début du projet, je découvrais la structure de l'application, les classes d'éphémérides étaient séparées en deux regroupement(s) distinct(s) de classes ([package](#))s JAVA distincts. Celles récupérées par *streams* [RTCM](#) dans le [package](#) [gogps](#) et celle permettant de récupérer les éphémérides [GPS](#) par message de navigation dans le [package](#) [geoloclib](#).

Les éphémérides des constellations préalablement implémentées sont toutes de type képlérienne. Il n'était pas possible d'intégrer proprement les éphémérides [Glonass](#), non képlérienne, en l'état.

C'est pourquoi j'ai proposé de refondre l'architecture autour des classes d'éphémérides en exploitant les principes d'héritage et de polymorphisme dont dispose le langage JAVA.



## Récupération des données d'éphémérides par message de navigation

La solution la plus simple sembla être de suivre le même procédé que celui déjà en place avec le [GPS](#) pour récupérer le message de navigation [Glonass](#). C'est-à-dire définir une classe `GlonassNavigationMessage` chargée de décoder les messages et une classe `GlonassEphemeris` dans le [package](#) `gogps.ephemeris`, en suivant la structure de la refonte, chargée de contenir les données d'éphémérides obtenues.

Le décodage du message binaire se fera à l'aide de l'Interface Control Document ([ICD](#)) [Glonass](#) [[11](#), [18](#)].

## Récupération des données d'éphémérides par streams RTCM

Pour les besoins de l'application nous devons décoder le message 1020 contenant les données d'éphémérides et d'horloges, le message 1065 contenant les biais de code et le message 1066 contenant les corrections d'éphémérides [[2](#), [10](#)].

Ici aussi, la solution la plus simple sembla être de suivre le modèle de récupération des éphémérides déjà existant avec une classe `DecodeMsgXXXX` par message (dans le [package](#) `gogps.ephemeris`), chargée de décoder les *streams* [RTCM](#). Il suffit ensuite de relier cette classe à la classe `RTCM3Client` recevant tous les *streams* et aux classes d'éphémérides et de corrections correspondantes.

Le décodage des messages [RTCM](#) pouvait être réalisé à l'aide du code en C open-source de [RTKLIB](#) qui réalise déjà ce procédé [[22](#)].

## Calcul de position des satellites

La méthode d'intégration de la position d'un satellite [Glonass](#) par Runge-Kutta 4 ([RK4](#)) étant différente de celle d'un satellite képlérien comme [GPS](#) ou [Galileo](#), il faut la coder *ex-nihilo*.

Pour conserver la méthode d'intégration des autres constellations, qui est déjà fonctionnelle, il est possible de définir un nouveau constructeur de la classe `SatellitePositionGNSS` du [package](#) `geoloclib.satellites` prenant en argument un objet de type `GlonassEphemeris`. Ce nouveau constructeur ferait appel à la méthode d'intégration [RK4](#) afin de calculer la position du satellite.

## Intégration au calcul de moindres carrés pour le positionnement récepteur

Une fois les pseudo-distances et éphémérides obtenues et le calcul de position des satellites mis en place, il faut à intégrer la constellation [Glonass](#) dans le calcul de position récepteur par multilatération.

Pour cela, il faut modifier la classe `GNSSPositionning` du [package](#) `geoloclib.computations` pour prendre en compte la constellation et si besoin ajouter un paramètre de biais entre le temps [GPS](#) et le temps [Glonass](#) dans le calcul de moindres carrés.

## Planning prévisionnel

Semaine	Description
16/12	Modifications de l'interface et des fonctions du package app, vérifier si les satellites Glonass apparaissent comme visibles
06/01	Modifier la structure autour de la classe <code>GNSSEphemeris</code> et vérifier que
13/01	l'application conserve toutes les fonctionnalités existantes
20/01	Implémenter la récupération et le décodage des messages de navigation, le
27/01	calcul de position satellite, vérifier le résultat des positions obtenues
03/02	Implémenter la récupération et le décodage des stream <a href="#">RTCM</a> , vérifier les
10/02	éphémérides et corrections
17/02	Vérification globale du fonctionnement de l'application, comparaison des résultats obtenus avec et sans <a href="#">Glonass</a> , rédaction du rapport
24/02	Rédaction du rapport et préparation de la soutenance

TABLE 1 – Planning prévisionnel des développements

# Etude technique

## Structure des messages de navigation Glonass

Les messages de navigation **GlONASS** sont continuellement transmis sur la fréquence  $L_1$  par un *superframe* de 2,5 minutes. Il est composé de cinq *frames* de 30 secondes, eux même constitués de 15 *strings* de 2 secondes avec un équivalent de 100 bits d'information par *string*. [11, 18, 19, 21]

Frame Number	String Number	2s					
		0	1.7 s	Kx	0.3s		
I	1	0	Inmediate data	Kx	MB	30s	
	2	0	for	Kx	MB		
	3	0	transmitting	Kx	MB		
	4	0	satellite	Kx	MB		
	5	0	Non inmediate data	0	MB		
	:	:	(almanac) for	:	MB		
15	0	five satellites	Kx	MB			
II	1	0	Inmediate data	Kx	MB	30s	
	2	0	for	Kx	MB		
	3	0	transmitting	Kx	MB		
	4	0	satellite	Kx	MB		
	5	0	Non inmediate data	0	MB		
	:	:	(almanac) for	:	MB		
15	0	five satellites	Kx	MB			
III	1	0	Inmediate data	Kx	MB	30s	
	2	0	for	Kx	MB		
	3	0	transmitting	Kx	MB		
	4	0	satellite	Kx	MB		
	5	0	Non inmediate data	0	MB		
	:	:	(almanac) for	:	MB		
15	0	five satellites	Kx	MB			
IV	1	0	Inmediate data	Kx	MB	30s	
	2	0	for	Kx	MB		
	3	0	transmitting	Kx	MB		
	4	0	satellite	Kx	MB		
	5	0	Non inmediate data	0	MB		
	:	:	(almanac) for	:	MB		
15	0	five satellites	Kx	MB			
V	1	0	Inmediate data	Kx	MB	30s	
	2	0	for	Kx	MB		
	3	0	transmitting	Kx	MB		
	4	0	satellite	Kx	MB		
	5	0	Non inmediate data	0	MB		
	:	:	(almanac) for four sat	:			
	14	0	Reserved Data	Kx	MB		
	15	0	Reserved Data	Kx	MB		

FIGURE 4 – Structure des messages de navigation Glonass [11, 18]

Chaque *string* se compose d'un message à proprement parler de 85 bits par index décroissant (85 84 83 ... 3 2 1) puis d'une séquence pseudo-aléatoire de 0,3 secondes appelée *Time mark* qui ne présente pas d'intérêt pour notre besoin. Les huit premiers bits désignent le code de Hamming permettant de vérifier la validité du message grâce à un algorithme spécifié dans la documentation Glonass [11, 18].

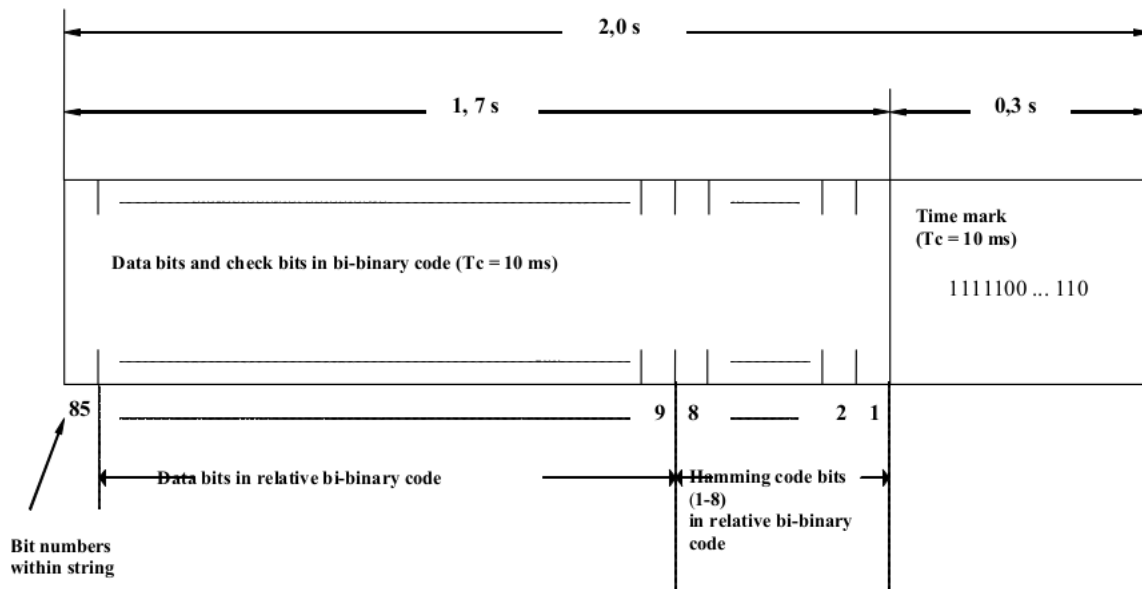


FIGURE 5 – Structure des "strings" des messages de navigation Glonass [11, 18]

Les 4 premières *strings* de chaque *frames* sont appelées *immediate data* et contiennent les données d'éphéméride, d'horloge, d'état du satellite, ect... sous forme de *words* de longueur variable dont le bit de poids fort est placé à l'avant (MSB first). Pour certains d'entre eux, il est nécessaire d'appliquer un facteur d'échelle à la valeur brute transmise par le message binaire.

Il faut donc récupérer certains de ces *words* pour reconstruire les éphémérides des satellites.

## Récupération des observables Glonass

La puce GNSS d'un téléphone est un capteur passif qui transmet tous les signaux qu'elle reçoit à l'Interface de programmation (API) Android. Il est alors relativement aisé d'obtenir les informations nécessaires sous la forme d'objet de type *GnssNavigationMessage* [7] et *GnssMeasurement* [6] grâce aux *Events* et *Callbacks* de l'API.

### Android GnssMeasurement

Chaque objet de type *GnssMeasurement* implémente une mesure d'un seul satellite. Il permet d'accéder à la valeur de pseudo-distance, au temps de réception de la mesure par la puce ainsi que d'autres informations complémentaires.

Pour Glonass, seule la fréquence  $L_1$  est disponible.

## Android GnssNavigationMessage

Chaque objet de type *GnssNavigationMessage* implémente un sous-message d'un message de navigation d'un satellite. Il permet d'accéder aux informations du sous-message sous la forme d'une liste de bytes de longueur variable selon la constellation au format Gros Boutiste (poids des octets par ordre décroissant) et précise l'identifiant du message et du sous-message en question.

Dans le cas de [Glonass](#), il est d'une taille de 11 octets soit 88 bits. Cela correspond à une *string* sans le *Time mark* auquel a été ajouté 3 bits à la fin de la chaîne binaire.

## Calcul des coordonnées des satellites Glonass

Contrairement aux autres constellations, les paramètres d'éphémérides des satellites [Glonass](#), exprimés dans le repère système de coordonnées Earth-Centered Earth-Fixed ([ECEF](#)) PZ-90, ne sont pas définis selon le modèle képlerien. [21, 20, 12]

Parameter	Explanation
$t_e$	Ephemerides reference epoch
$x(t_e)$	Coordinate at $t_e$ in PZ-90
$y(t_e)$	Coordinate at $t_e$ in PZ-90
$z(t_e)$	Coordinate at $t_e$ in PZ-90
$v_x(t_e)$	Velocity component at $t_e$ in PZ-90
$v_y(t_e)$	Velocity component at $t_e$ in PZ-90
$v_z(t_e)$	Velocity component at $t_e$ in PZ-90
$X''(t_e)$	Moon and sun acceleration at $t_e$
$Y''(t_e)$	Moon and sun acceleration at $t_e$
$Z''(t_e)$	Moon and sun acceleration at $t_e$
$\tau_n(t_e)$	SV clock offset
$\gamma_n(t_e)$	SV relative frequency offset

FIGURE 6 – Paramètres nécessaires au calcul de positionnement d'un satellite Glonass [20]

Ces paramètres sont valables pour un instant d'émission  $t_e$  et sont mises à jour toutes les 2 à 3 heures. Quelques étapes d'intégration sont nécessaires afin de déterminer la position des satellites à un instant  $t = t_e + dt$  :

### 1. Transformation des coordonnées vers un repère inertiel

- Temps Universal Time Coordinated ([UTC](#))  $t_0 = t_e - 3 \text{ heures}$

- Position :

$$\begin{aligned}x_a(t_0) &= x(t_0) \cos(\theta_{Ge}) - y(t_0) \sin(\theta_{Ge}) \\y_a(t_0) &= x(t_0) \sin(\theta_{Ge}) + y(t_0) \cos(\theta_{Ge}) \\z_a(t_0) &= z(t_0)\end{aligned}$$

- Vitesse :

$$\begin{aligned}x_a(t_0) &= \dot{x}(t_0) \cos(\theta_{Ge}) - \dot{y}(t_0) \sin(\theta_{Ge}) - \omega_E * y_a(t_0) \\y_a(t_0) &= \dot{x}(t_0) \sin(\theta_{Ge}) + \dot{y}(t_0) \cos(\theta_{Ge}) + \omega_E * x_a(t_0) \\z_a(t_0) &= \dot{z}(t_0)\end{aligned}$$

- Accélération luni-solaire :

$$\begin{aligned}(Jx_a m + Jx_a s) &= \ddot{x}(t_0) \cos(\theta_{Ge}) - \ddot{y}(t_0) \sin(\theta_{Ge}) \\(Jy_a m + Jy_a s) &= \ddot{x}(t_0) \sin(\theta_{Ge}) + \ddot{y}(t_0) \cos(\theta_{Ge}) \\(Jz_a m + Jz_a s) &= \ddot{z}(t_0)\end{aligned}$$

Avec

$\theta_{Ge} = \theta_{G0} + \omega_E * (t_0 - 3heures)$  le Greenwich Apparent Sideral Time (**GAST**)

$\omega_E = 0.7292115 * 10^{-4} rad/s$  la vitesse de rotation de la terre

$\theta_{G0}$  le temps sidéral à l'époque  $t_0$

## 2. Système d'équations différentielles décrivant le mouvement des satellites

$$\begin{cases} \frac{dx_a}{dt} = \dot{x}_a(t) \\ \frac{dy_a}{dt} = \dot{y}_a(t) \\ \frac{dz_a}{dt} = \dot{z}_a(t) \\ \frac{d\bar{x}_a}{dt} = -\bar{\mu}\bar{x}_a + \frac{3}{2}C_{20}\bar{\mu}\bar{x}_a\rho^2(1 - 5\bar{z}_a^2) + Jx_a m + Jx_a s \\ \frac{d\bar{y}_a}{dt} = -\bar{\mu}\bar{y}_a + \frac{3}{2}C_{20}\bar{\mu}\bar{y}_a\rho^2(1 - 5\bar{z}_a^2) + Jy_a m + Jy_a s \\ \frac{d\bar{z}_a}{dt} = -\bar{\mu}\bar{z}_a + \frac{3}{2}C_{20}\bar{\mu}\bar{z}_a\rho^2(3 - 5\bar{z}_a^2) + Jz_a m + Jz_a s \end{cases}$$

Avec

$$\bar{\mu} = \frac{\mu}{r^2}, \bar{x}_a = \frac{x_a}{r}, \bar{y}_a = \frac{y_a}{r}, \bar{z}_a = \frac{z_a}{r}$$

$$\bar{\rho} = \frac{a_E}{r}, r = \sqrt{x_a^2 + y_a^2 + z_a^2}$$

$a_E = 6378.136 km$  le rayon de la terre à l'Equateur dans le système PZ-90

$\mu = 398600.44 km^3/s^2$  constante gravitationnelle dans le système PZ-90

$C_{20} = -1082.63 * 10^{-6}$  second coefficient zonal de l'expression en harmonique sphérique

## 3. Intégration de l'algorithme de Runge-Kutta

Soit un système de la forme :

$$\left\{ \begin{array}{l} \frac{dy_1}{dt} = f_1(t, y_1, \dots, y_n) \\ \cdot \\ \cdot \\ \cdot \\ \frac{dy_n}{dt} = f_n(t, y_1, \dots, y_n) \end{array} \right. \iff Y'(t) = F(t, Y(t))$$

L'algorithme de [RK4](#) permet de résoudre ce système d'équation en intégrant des intervalles de pas à une solution initiale tel que :

$$\begin{aligned} K_1 &= F(t_n, Y_n) \\ K_2 &= F(t_n + h/2, Y_n + hK_1/2) \\ K_3 &= F(t_n + h/2, Y_n + hK_2/2) \\ K_4 &= F(t_n + h, Y_n + hK_3) \\ Y_{n+1} &= Y_n + h/6(K_1 + 2K_2 + 2K_3 + K_4) \end{aligned}$$

Avec  $h = t_{k+1} - t_k$

Et en prenant  $Y_0 = Y(t_0)$  et  $Y'_0 = Y'(t_0)$  comme solutions initiales.

#### 4. Transformation des coordonnées vers le repère PZ-90

$$\begin{aligned} x(t) &= x_a(t) \cos(\theta_{Ge}) + y_a(t) \sin(\theta_{Ge}) \\ y(t) &= -x_a(t) \sin(\theta_{Ge}) + y_a(t) \cos(\theta_{Ge}) \\ z(t) &= z_a(t) \end{aligned}$$

#### 5. Transformation des coordonnées en WGS84 (=ITRF2000)

$$\begin{aligned} x(t)_{ITRF2000} &= x(t)_{PZ90.02} - 0.36 \\ y(t)_{ITRF2000} &= y(t)_{PZ90.02} + 0.08 \\ z(t)_{ITRF2000} &= z(t)_{PZ90.02} + 0.18 \end{aligned}$$

Les coordonnées obtenues peuvent être directement utilisées pour du positionnement conjointement avec les autres constellations.

# Travail réalisé

---

## Refonte des classes d'éphémérides

Comme prévu lors de mon analyse, j'ai réalisé une refonte des classes d'éphémérides de l'application qui jusqu'à présent considérait une classe dédiée au remplissage par message de navigation et une autre par *streams* [RTCM](#).

Cette étape s'est déroulée bien plus facilement que ce dont à quoi je m'attendais. Ayant déjà eu à refondre du code lors d'un précédent projet je savais que cela pouvait rapidement devenir problématique.

La nouvelle structure privilégie d'avantage le polymorphisme et je n'ai noté aucun dysfonctionnement du système existant. Toutes les classes d'éphémérides sont regroupées dans le [package](#) `gogps.ephemeris`.

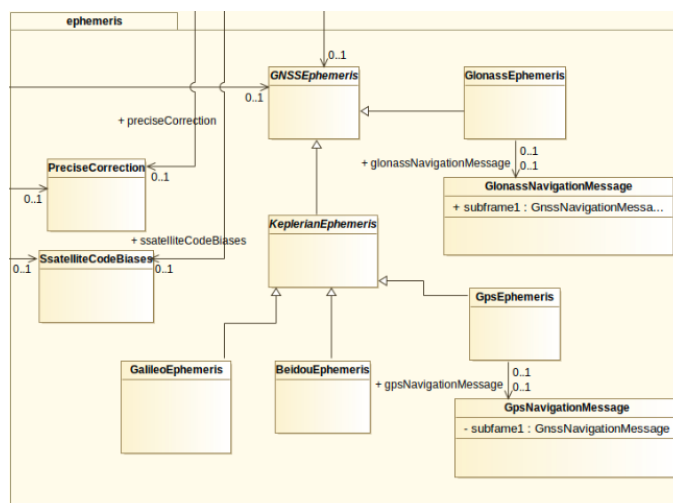


FIGURE 7 – Nouvelle structure du package `gogps.ephemeris`

## Récupération et décodage des messages de navigation

Le décodage des messages de navigation s'avéra cependant beaucoup plus complexe que prévu durant l'analyse et j'ai largement dépassé le délai de 2 semaines que je m'étais fixé.

Le message Glonass comprime au maximum l'information et sa restitution est loin d'être immédiate comme avec le message GPS. Il nous aura fallu un certain temps pour comprendre, avec les membres de l'équipe GEOLoc, comment procéder.

Pour récupérer les données d'éphémérides qui nous intéressent il faut extraire certains morceaux du message binaire (appelés *words*) et reconstruire la valeur correspondante selon un certain formalisme décrit dans l'ICD.

Les différents points qu'il a fallu cerner et gérer afin de réaliser cet objectif sont listés ci-dessous :

- l'API Android transmet le message de navigation sous la forme de 11 octets à convertir en chaîne de caractères binaires de taille 88 ;
- les trois dernières valeurs de cette chaîne sont des bits ajoutés par l'API qu'il ne faut pas prendre compte, la chaîne binaire du message est donc de taille 85 ;
- les bits du message de navigation sont numérotés de façon décroissante dans l'ICD ;
- les sous-chaînes binaires constituant les *words* suivent le format MSB first (le bit de poids fort est en avant) ;
- certains *words* associent leur bit de poids fort au signe de la valeur des bits suivants (0 positif et 1 négatif) tandis que d'autres non ;
- certains *words* nécessitent d'appliquer un facteur d'échelle à la valeur restituée par la chaîne binaire pour obtenir la valeur non compressée.

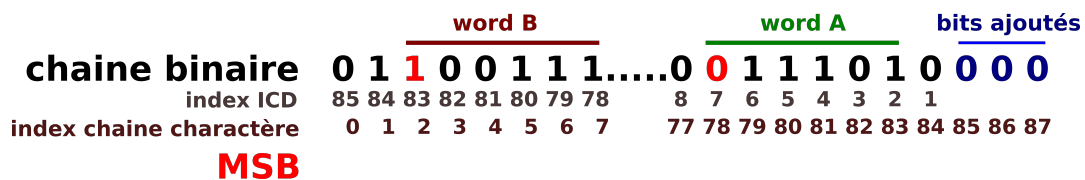


FIGURE 8 – Représentation de la chaîne binaire du message de navigation

Word	A	B
startbit (index ICD)	2	78
endbit (index ICD)	7	83
signe dans MSB	non	oui
facteur d'échelle	$2^5$	non
Valeur obtenue	$2^0 + 2^2 + 2^3 + 2^4 + 2^5$ $*2^5$ $= 1952$	$2^0 + 2^1 + 2^2$ $*(-1)$ $= -7$

TABLE 2 – Exemples de décodage de *words* du message de navigation

Seules les données des quatre premières *strings* sont nécessaires au calcul de position du satellite. Toutefois, pour reconstruire la date de validité de l'éphéméride, il est nécessaire d'accéder au *word*  $N_4$  de la *string* 5 et d'implémenter un algorithme détaillé en annexe D. L'application permet d'obtenir cette date au format grégorien et de calculer la semaine GPS correspondante.

## Positionnement des satellite à partir des données d'éphémérides

Une fois les données d'éphémérides acquises, l'étape de positionnement des satellites par méthode RK4 a pu être abordée.

La première étape consiste à calculer la valeur du GAST afin d'effectuer la transformation du repère ECEF au repère Earth Centered Inertial (ECI). Pour cela, il a fallu implémenter un outil de conversion de date grégorienne en jours juliens [1].

Le calcul du GAST a été réalisé comme expliqué dans l'annexe C mais une version simplifiée des équations d'équinoxe issue de la GNSSTOOLBOX a été mise en place.

D'une part, le vrai calcul de ces équations nécessite une implémentation très fastidieuse en introduisant l'ensemble des constantes du modèle de nutation **IAU1980** [9]. D'autre part, le recalcul toutes les secondes pour chaque satellite observé peut engendrer un coût de calcul considérable pour le téléphone.

La méthode **RK4** a été implémentée comme décrite dans l'étude technique.

## Récupération et décodage des messages RTCM

Les messages désignés dans l'étude technique ont été décodés. Une nouvelle classe a été attribuée par nouveau message et intégrée à l'application en suivant l'exemple des messages déjà décodés et le code-source de **RTKLIB**.

Cependant, il est à noter que certains messages gèrent les mêmes types de données pour les différentes constellations (1059 et 1065 pour les biais de code GPS et Glonass par exemple) et sont structurés de la même façon, à la distinction des premières données que l'on pourrait associer à un *header*.

## Rédaction de la documentation

Deux semaines avant la date de rendu et ayant accumulé un retard considérable durant le développement, nous dressâmes avec les commanditaires de l'équipe **GEOLOC** la liste des points à prioriser.

La rédaction du présent rapport ainsi que du guide développeur furent privilégiés au détriment de fonctionnalités annexes et de la rédaction d'un manuel utilisateur afin de pouvoir reprendre et terminer le travail réalisé plus facilement.

La rédaction du guide développeur est par ailleurs un travail important puisqu'il n'en existait aucun jusqu'à présent. Les diagrammes Langage de Modélisation Unifié (**UML**) fournis sont tous réalisés avec la solution libre **MODELIO 4.0** et mis à disposition sur le **GITLAB** afin de pouvoir être repris par les contributeurs suivants.

# Essais et résultats

---

## Test des récupération d'éphémérides

### Récupération par message de navigation

N'ayant pu trouvé aucune solution libre implémentant le décodage des messages de navigation sur lequel me baser et vérifier mon travail, il aura fallu intuer une procédure de contrôle.

Tout d'abord, on peut simplement vérifier que l'ordre de grandeur de la valeur d'un *word* correspond bien à celui attendu. Cela me permit de me rendre compte qu'un facteur d'échelle devait être appliqué mais cela n'est pas suffisant.

Chaque *string* du message explicite son numéro aux bits 81 à 84. Il est donc possible de comparer la valeur décodée avec le numéro fournit par l'API (attribut *SubmessageId*) et ainsi s'assurer du bon décodage du message.

### Récupération par streams RTCM

Afin de vérifier les données récupérées par *streams* il est possible d'utiliser un logiciel nommé SNIP qui propose un décodeur de message RTCM. Cela avait d'ailleurs été le cas lors des précédents travaux sur l'application. Cependant, parmi les messages qui nous intéresse, seul le 1020 est disponible dans la version gratuite.

Finalement je n'aurais pas utiliser ce logiciel d'autant plus que les éphémérides obtenues correspondaient à celle décodées par message de navigation, me confortant dans l'idée que les deux différentes solutions étaient corrects.

Toutefois, il pourrait s'avérer intéressant de vérifier la véracité des corrections obtenues par les messages 1065 et 1066. Elles n'ont pas été vérifiées par manque de temps mais elles semblent cohérentes à celles obtenues pour les autres constellations.

## Exemple de données d'éphéméride récupérées

Voici un exemple d'éphéméride [Glonass](#). Il s'agit du Indice du satellite au sein de sa constellation ([PRN](#)) 18 enregistré le 10/02/2020 en fin d'après midi.

Attribut	Valeur	Unité
Constellation	3	
prn	18	
Bn (health flag)	0	
Tb (time of day of validity)	1245	min
Tk (time of day of message)	73800	s
X (PZ90)	24635.6748046875	km
Y (PZ90)	-4060.5107421875	km
Z (PZ90)	5093.74951171875	km
Vx	-0.7302684783935547	km.s-1
Vy	-0.040630340576171875	km.s-1
Vz	3.5195655822753906	km.s-1
AccX	-9.313225746154785E-10	km.s-2
AccY	-2.7939677238464355E-9	km.s-2
AccZ	-1.862645149230957E-9	km.s-2
tauN	-2.4645589292049408E-5	s
gammaN	9.09494701772928E-13	
Nt	41	jours
N4	7	années bissextiles
Wn	2092	semaine GPS

TABLE 3 – Ephéméride Glonass enregistrée par GeolocPVT

## Test des résultats de positionnement des satellites

Pour m’assurer de la qualité du code de positionnement des satellites à partir des données d’éphémérides, j’ai comparé mes résultats avec ceux de la PYGNSTOOLBOX développée par J. Beilin, professeur à l’ENSG.

### Comparaison du résultat de position

La comparaison des résultats de la position du satellite après intégration RK4 sur notre éphéméride test avec  $t_{\text{émission}} = t_b + 5\text{min}$  est visible en table 4 (page 24).

Ephémérides 05/02/20 PRN 26		
Solution	Gnsstoolbox	GeolocPVT
X (m)	5208588.818	5208588.834
Y (m)	-23949519.263	-23949519.260
Z (m)	7040669.980	7040669.956
dX (m)	0.016	
dY (m)	0.003	
dZ (m)	0.023	
Ephémérides 10/02/20 PRN 18		
X (m)	24395704.237	24395704.108
Y (m)	-4064169.372	-4064169.460
Z (m)	6143715.769	6143715.794
dX (m)	0.129	
dY (m)	0.088	
dZ (m)	0.025	

TABLE 4 – Comparaison des résultats de position (ITRF2000) sur une intégration RK4 de 5 minutes

### Différence d’implémentation du calcul du GMST

En parcourant les deux différents code, il est à noter que le calcul du Greenwich Mean Sideral Time (GMST) que j’ai implémenté suit les recommandations du Navipédia de l’European Space Agency (ESA) [3, 4] et est différent de l’implémentation simplifiée de la PYGNSTOOLBOX présentée ci-dessous :

```
1 GMST = 18.697374558 + 24.06570982441908 * (te.jd - 2451545.0)
   #in sideral hours
```

Après conversion de la valeur (obtenue en secondes sidérales) en radians et comparaison avec celle de la *toolbox*, je trouve un écart angulaire pouvant atteindre l’ordre de  $10e - 7$  entre nos deux solutions.

Bien que cet écart puisse sembler faible, multiplié par des valeurs de coordonnées pouvant atteindre  $2,7e7$  m, lors du passage au repère inertiel, l’ écart sur les coordonnées ECI peut être de l’ordre de 0,1-1 m.

J’ai cherché à comparer ces résultats sur différents calculateurs en ligne mais aucun ne semble s’accorder sur une meilleure exactitude :

$$\begin{aligned} - GMST_{\text{geoloc}} &= 2.4355671034810484\text{rad} \\ - GMST_{\text{pygnstoolbox}} &= 2.4355668296107793\text{rad} \end{aligned}$$

- $GMST_{gavo} = 2,435566901rad$  [5]
- $GMST_{neoprogrammics} = 2,435567119rad$  [8]

Au moment de l'analyse je n'avais pas approfondi la manière de déterminer le **GAST**. Or ce point s'avéra non trivial par la suite. Des informations complémentaires sont disponibles en [annexe C](#).

## Comparaison du résultat de position en prenant en compte la différence de GMST

J'ai donc repris le test précédent en explicitant en dur les valeurs de **GAST** calculées par GEOLOCPVT lors des transformation repère fixe/repère inertiel à la *toolbox* (voir [table 5](#), page [25](#)).

Ephémérides 05/02/20 <a href="#">PRN 26</a>		
Solution	Gnsstoolbox	GeolocPVT
X (m)	5208588.847	5208588.834
Y (m)	-23949519.257	-23949519.260
Z (m)	7040669.980	7040669.956
dX (m)	0.013	
dY (m)	0.017	
dZ (m)	0.016	
Ephémérides 10/02/20 <a href="#">PRN 18</a>		
X (m)	24395704.241	24395704.108
Y (m)	-4064169.345	-4064169.460
Z (m)	6143715.769	6143715.794
dX (m)	0.133	
dY (m)	0.115	
dZ (m)	0.025	

TABLE 5 – Comparaison des résultats de position (ITRF2000) sur une intégration RK4 de 5 minutes en explicitant les valeurs de **GAST**

Les écarts entre les deux solutions sont toujours très importants et plutôt comparables entre le cas où la valeur du **GAST** a été explicitée et le cas où cela n'a pas été fait. Il existe donc une autre distinction entre les deux solutions qui n'a pas été identifiée.

Cet écart déjà relativement important sur une durée d'intégration courte empire pour des durées plus longues jusqu'à atteindre des valeurs vraiment problématiques tel que le montre la [figure 9](#) (page [26](#)).

Ainsi sur une intégration longue on peut atteindre la centaine de mètres. Il y a définitivement un biais au sein de la méthode de **RK4** de l'application. J'ai vérifié le processus de calcul et les constantes en jeu mais je ne suis pas parvenu à localiser la source d'erreur.

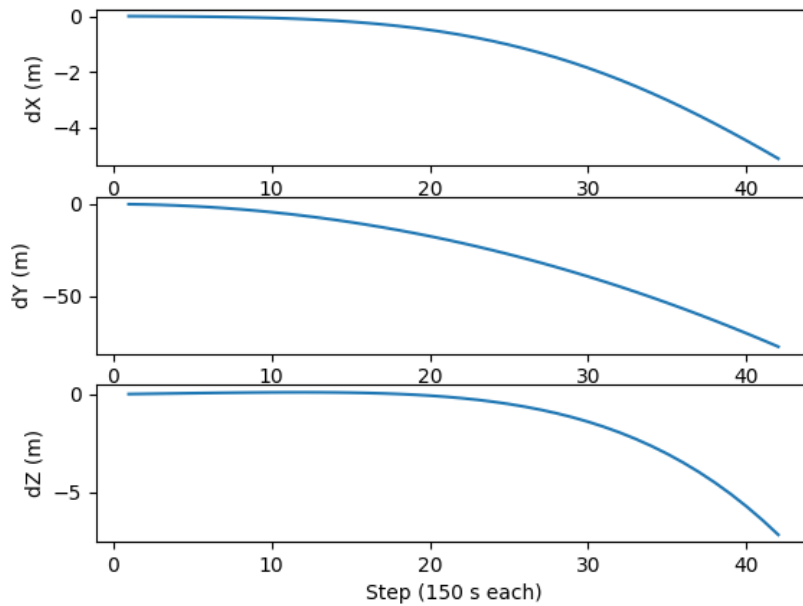


FIGURE 9 – Ecartés cumulés entre Geoloclib et PyGnssToolbox au cours d’une intégration RK4 de 105 minutes

## Test global du positionnement utilisateur avec Glonass

Une fois toutes les différentes parties implémentées et testées séparément, il a été possible de les relier entre elles et de les greffer à l’algorithme de moindres carrés en charge du positionnement récepteur. Malheureusement, les résultats produits se révélèrent aberrants.

Le problème pourrait tout d’abord venir d’une erreur de calcul des positions des satellites puisque comme vu précédemment, les résultats de l’application ne concordent pas avec ceux de la GNSSTOOLBOX et sont donc possiblement erronés.

Il est aussi possible que la conversion d’une unité à une autre spécifique pour un certain attribut soit nécessaire lors de l’intégration de la constellation Glonass au calcul de multilatération.

La source d’erreur n’a cependant pas pu être trouvée à cause du retard accumulé lors des précédentes étapes.

# Bilan

---

## Gestion de projet

Date	Description
lundi 23/12/19	ajout et connexion des items UI pour glonass
mercredi 25/12/19	modification des fonctions de réceptions des messages de navigation
dimanche 29/12/19	début refactoring des classes éphémérides
lundi 30/12/19	refactoring fini et testé
jeudi 16/01/20	début implémentation classe ephemeride et navmsg de glonass
vendredi 17/01/20	poursuite implémentation classes éphémérides et messgae de navigation glonass
lundi 20/01/20	calcul du thetaG0 et outils conversion en jours juliens, début implémentation <a href="#">RK4</a>
mercredi 22/01/20	Entretien du dépôt Git et mise en place de bonnes pratiques
vendredi 24/01/20	calcul date d'émission et GPS week number
mardi 28/01/20	facteur d'échelle des données du message de navigation
mercredi 29/01/20	découverte message de navigation à l'envers et code de Huffman
samedi 01/02/20	cherche erreur de conversion du message de navigation
lundi 03/02/20	décodage message RTCM 1020
mercredi 05/02/20	début décodage message 1065 et 1066, cherche erreur de conversion du message de navigation
vendredi 07/02/20	éphémérides par message de navigation réussi
samedi 08/02/20	implémentation position satellite presque finie, réalise différence de <a href="#">GAST</a>
lundi 10/02/20	message de navigation et RTCM en accord sur les éphémérides
mardi 10/02/20	tests et modifications calcul <a href="#">GAST</a>
mercredi 12/02/20	test global fonctionnement application, cherche erreur calcul position récepteur
jeudi 13/02/20	cherche erreur positionnement satellite, rédaction du rapport
vendredi 14/02/20	cherche erreur positionnement satellite, rédaction du rapport
dimanche 16/02/20	rédaction du rapport
lundi 17/02/20	rédaction du rapport et de la documentation développeur
mardi 18/02/20	rédaction du rapport et de la documentation développeur
mercredi 19/02/20	rédaction de la documentation développeur

TABLE 6 – Journal de bord du projet

Les étapes primordiales à réaliser et attendues par le commanditaire étaient les suivantes :

- Obtenir les éphémérides par message de navigation
- Calculer les positions des satellites

- Ajouter la nouvelle constellation au calcul de position récepteur
- Obtenir les éphémérides par message RTCM
- Rédiger la documentation développeur
- Rédiger la documentation utilisateur

Comme le travail sur les messages de navigation restait infructueux pendant un long moment, j'ai souhaité basculer sur le travail des messages RTCM afin de m'assurer d'obtenir des données d'éphémérides réelles sur lesquelles tester ma solution de position des satellites. C'est pour cette raison que cette fonctionnalité secondaire a été implémentée tandis que d'autres plus importantes n'ont pas été achevées.

## Difficultés rencontrées

L'un des principaux problèmes rencontrés durant le projet fut pour moi la difficulté de trouver les bonnes informations dans la documentation Glonass. La logique du message de navigation est complexe puisque, contrairement à GPS, l'information est compressée au maximum. Elle n'est reconstituée qu'en utilisant des techniques et algorithmes peu intuitifs. Même si toutes les informations nécessaires sont disponibles dans l'ICD (seule source d'information facilement disponible en langue anglaise), il s'agit d'un document très long et très technique. Je pense que mon analyse sur cette partie du projet n'a pas été suffisamment poussée et j'ai perdu un temps important durant le développement à comprendre comment la réaliser.

Le second problème rencontré est la complexité de certaines notions, notamment lors du changement de repère ECEF vers ECI qui me prirent aussi beaucoup de temps à assimiler. Ici aussi, une analyse plus poussée aurait grandement facilité le travail de développement.

Enfin, jusqu'à présent l'application malgré son envergure ne disposait d'aucune documentation sur laquelle s'appuyer ce qui nécessita un temps non négligeable durant l'analyse et la rédaction du guide développeur.

## Perspectives d'amélioration

### Validation du positionnement satellite

Il est impératif de trouver la source d'erreur du positionnement satellite de l'application. La divergence d'arrondi numérique entre les deux solutions comparées ne peut être uniquement justifiée par des erreurs d'arrondis. Une légère erreur de quelques centimètres est probablement présente en amont du processus d'intégration numérique et se retrouve peu à peu accentuée au cours des itérations.

### Intégrer Glonass au reste du calcul de position récepteur

Une fois le positionnement satellite corrigé, il faudrait retester le positionnement récepteur avec la constellation Glonass. Il se peut que ce problème soit alors réglé. Si toutefois les résultats obtenus restent éronnés, cela signifie qu'une étape a été oubliée dans l'intégration au calcul de multilatération. Il est en effet possible qu'il faille convertir l'une des valeurs calculées d'une unité à une autre et que cela m'aura échappé.

### Validation du message de navigation avec le code de Hamming

Chaque message de navigation Glonass comporte 8 bits dénommé "code de Hamming" permettant de vérifier l'intégrité du message et de corriger une potentielle erreur de transmission.

C'est un algorithme assez complexe présenté dans l'ICD [11] qui pourrait être implémenté pour assurer un contrôle.

Il est à noter cependant que la classe `GnssNavigationMessage` de l'API Android le réalise peut-être déjà puisqu'elle présente les attributs `STATUS_PARITY_PASSED` et `STATUS_PARITY_REBUILT` qui semble correspondre à ce que pourrait fournir ce code de Hamming [7].

## Refonte des classes de décodage des messages RTCM

Les messages RTCM relayant le même type d'information pour des constellations différentes suivent le même schéma de transmission à la différence des premières données du message que l'on pourrait considérer comme *header* du message.

Ainsi, une seule classe par type de message (code de biais, correction d'éphémérides) suffirait avec une distinction pour le décodage du *header* plutôt que la structure actuelle qui définit une classe par message RTCM dédoublant certaines parties du code inutilement.

Je conseillerais donc de suivre l'exemple de la structure de RTKLIB qui présente une telle optimisation (voir le code de `rtcm3.c`) [22].

## Décoder le message de navigation Galileo

L'intérêt d'utiliser les messages de navigation et de ne pas avoir besoin de passer par un serveur de *streams* RTCM qui nécessite une connexion internet. De plus, ces serveurs ne sont le plus souvent accessibles qu'avec un identifiant et un mot de passe. Décoder le message de navigation d'une constellation supplémentaire permettrait d'augmenter la redondance du positionnement par éphémérides directement transmises.

## Tri des fonctionnalités gogps

Le *package* `gogps` en charge de la gestion des flux RTCM a été importé dans sa totalité dans le code-source de l'application. Il s'agit d'un projet assez important comportant un grand nombre de classe.

Ce code source n'est absolument pas documenté et il est possible que certaines fonctionnalités tournent inutilement en fond de tâche consommant une partie de la mémoire. Je pense qu'il pourrait être important, tant pour la visibilité du code que pour les performances de l'application, de faire un tri des fonctionnalités de `gogps` pour ne conserver que ce dont il est réellement nécessaire.

Cela serait bien sûr un travail assez complexe nécessitant une analyse rigoureuse et il s'avèrerait peut-être plus simple de repartir de zéro.

# Conclusion

---

Bien que l'ensemble des fonctionnalités nécessaires au positionnement GNSS par Glonass aient été implémentées, il est frustrant de voir que le travail rendu ne soit pas encore opérationnel et nécessite d'être repris.

Il n'est donc pas possible de commencer dès à présent une analyse de l'impact sur la qualité du positionnement qu'apporte la constellation supplémentaire à l'application alors qu'il s'agit d'un sujet important et intéressant.

Toutefois, la documentation réalisée permettra aux futurs développeurs de se plonger plus aisément et plus rapidement dans le code et ainsi mieux se concentrer sur l'analyse des enjeux techniques.

De mon côté, ce projet aura été très intéressant puisque j'aurais développé mes compétences Android, jusqu'à présent très limitées, et pousser mes connaissances sur les systèmes GNSS et en particulier sur le système russe très en avant.

# Table des figures

1	Traces GPS et Glonass . . . . .	9
2	Diagramme de classe simplifié des objets d'éphémérides . . . . .	11
3	Diagramme de classe simplifié et restructuré, prévu pour le calcul des coordonnées des satellites . . . . .	11
4	Structure des messages de navigation Glonass . . . . .	14
5	Structure des "strings" des messages de navigation Glonass [11, 18] . . . . .	15
6	Paramètres nécessaires au calcul de positionnement d'un satellite Glonass . . . . .	16
7	Nouvelle structure du package gogps.ephemeris . . . . .	19
8	Représentation de la chaîne binaire du message de navigation . . . . .	20
9	Ecarts cumulés entre Geoloclib et PyGnssToolbox au cours d'une intégration RK4 de 105 minutes . . . . .	26
10	Diagramme de classe simplifié du package "app" . . . . .	35
11	Diagramme de classe simplifié du package "geoloclib" . . . . .	36
12	Diagramme de classe simplifié des classes du package "gogps" utilisées par l'application et de leurs interactions . . . . .	37
13	Diagramme de classe simplifié de l'application . . . . .	39

# Liste des tableaux

1	Planning prévisionnel des développements . . . . .	13
2	Exemples de décodage de <i>words</i> du message de navigation . . . . .	20
3	Ephéméride Glonass enregistrée par GeolocPVT . . . . .	23
4	Comparaison des résultats de position (ITRF2000) sur une intégration RK4 de 5 minutes . . . . .	24
5	Comparaison des résultats de position (ITRF2000) sur une intégration RK4 de 5 minutes en explicitant les valeurs de GAST . . . . .	25
6	Journal de bord du projet . . . . .	27

# Bibliographie

---

- [1] Algorithme de conversion en jours juliens. URL [https://fr.wikipedia.org/wiki/Jour\\_julien#Jour\\_julien\\_astronomique\\_\(AJD\)\\_ou\\_jour\\_julien\\_des\\_%C3%A9ph%C3%A9m%C3%A9rides\\_\(JDE\)](https://fr.wikipedia.org/wiki/Jour_julien#Jour_julien_astronomique_(AJD)_ou_jour_julien_des_%C3%A9ph%C3%A9m%C3%A9rides_(JDE)).
- [2] BKG GNSS Data Center. URL <https://igs.bkg.bund.de/ntrip/rtcmmessageypes>.
- [3] Sidereal Time - Navipedia, . URL [https://gssc.esa.int/navipedia/index.php/Sidereal\\_Time](https://gssc.esa.int/navipedia/index.php/Sidereal_Time).
- [4] ICRF to CEP - Navipedia, . URL [https://gssc.esa.int/navipedia/index.php/ICRF\\_to\\_CEP](https://gssc.esa.int/navipedia/index.php/ICRF_to_CEP).
- [5] German Astrophysical Virtual Observatory. URL <https://dc.zah.uni-heidelberg.de/apfs/times/q/form>.
- [6] GnsMeasurement | Android Developers. URL <https://developer.android.com/reference/android/location/GnsMeasurement>.
- [7] GnsNavigationMessage. URL <https://developer.android.com/reference/android/location/GnsNavigationMessage>.
- [8] Sidereal Time Calculator For Any Date, Time and Longitude. URL [http://neoprogrammics.com/sidereal\\_time\\_calculator/index.php](http://neoprogrammics.com/sidereal_time_calculator/index.php).
- [9] ICRF to CEP - Navipedia. URL [https://gssc.esa.int/navipedia/index.php/ICRF\\_to\\_CEP](https://gssc.esa.int/navipedia/index.php/ICRF_to_CEP).
- [10] An rtm3 message cheat sheet. URL <https://www.use-snip.com/kb/knowledge-base/an-rtcm-message-cheat-sheet/>.
- [11] *Glonass Interface Control Document*. Coordination Scientific Information Center, 4.0 edition, 1998. URL [https://www.unavco.org/help/glossary/docs/ICD\\_GLONASS\\_4.0\\_\(1998\)\\_en.pdf](https://www.unavco.org/help/glossary/docs/ICD_GLONASS_4.0_(1998)_en.pdf).
- [12] C. Fontaine and J. Beilin. Course : Calcul de la position d'un récepteur gnss "à la main". URL <http://cours-fad-public.ensg.eu/course/view.php?id=86>.
- [13] A. Grenier. Development of a gnss positioning application under android os using galileo signals, 2019.
- [14] *White paper on Using Raw GNSS Measurement on Android Devices*. GSA Raw Gnss Task Force, 2017. URL [https://www.gsa.europa.eu/system/files/reports/gnss\\_raw\\_measurement\\_web\\_0.pdf](https://www.gsa.europa.eu/system/files/reports/gnss_raw_measurement_web_0.pdf).

- [15] I. LMD/CNRS. Ixion en ligne. URL <https://climserv.ipsl.polytechnique.fr/ixion/>.
- [16] M. Ramandaniaina and S. Gao. Récupération de données de navigation sur android 8, 2018.
- [17] J. G. Resendiz Fonseca. Implémentation des algorithmes de géolocalisation sur android, 2018.
- [18] *Glonass Interface Control Document*. Russian Institute of Space Device Engineering, 5.1 edition, 2008. URL [http://russianspacesystems.ru/wp-content/uploads/2016/08/ICD\\_GLONASS\\_eng\\_v5.1.pdf](http://russianspacesystems.ru/wp-content/uploads/2016/08/ICD_GLONASS_eng_v5.1.pdf).
- [19] J. Sanz Subirana, J. Juan Zornoza, and M. Hernandez-Pajares. Glonass navigation message - navipedia, . URL [https://gssc.esa.int/navipedia/index.php/GLONASS\\_Navigation\\_Message](https://gssc.esa.int/navipedia/index.php/GLONASS_Navigation_Message).
- [20] J. Sanz Subirana, J. Juan Zornoza, and M. Hernandez-Pajares. Glonass satellite coordinates computation - navipedia, . URL [https://gssc.esa.int/navipedia//index.php/GLONASS\\_Satellite\\_Coordinates\\_Computation](https://gssc.esa.int/navipedia//index.php/GLONASS_Satellite_Coordinates_Computation).
- [21] J. Sanz Subirana, J. Juan Zornoza, and M. Hernandez-Pajares. *GNSS Data Processing Volume I : Fundamentals and Algorithm*. May 2013. URL [https://gssc.esa.int/navipedia/GNSS\\_Book/ESA\\_GNSS-Book\\_TM-23\\_Vol\\_I.pdf](https://gssc.esa.int/navipedia/GNSS_Book/ESA_GNSS-Book_TM-23_Vol_I.pdf).
- [22] T. Tomoji. Code source rtklib. URL <https://github.com/tomojitakasu/RTKLIB/>.

# Annexe A : Diagrammes de classe initiaux de l'application

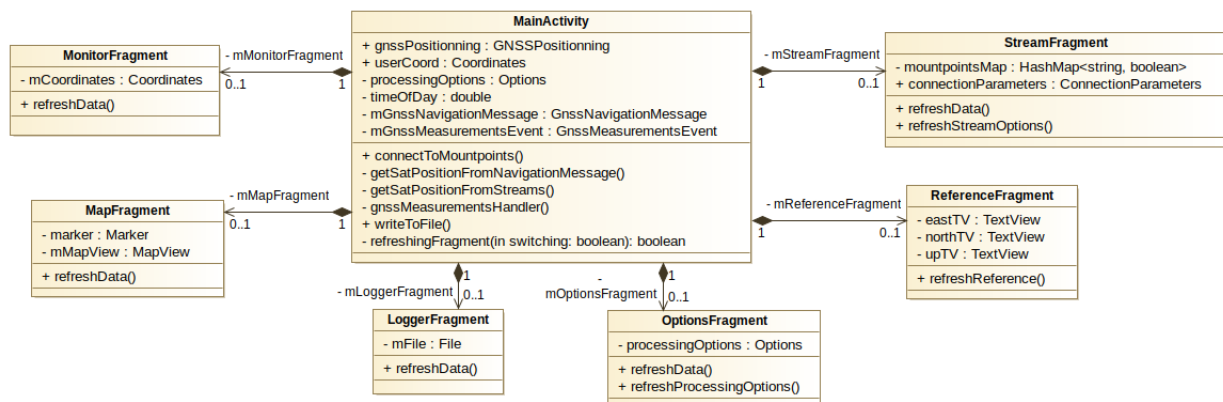


FIGURE 10 – Diagramme de classe simplifié du package "app"



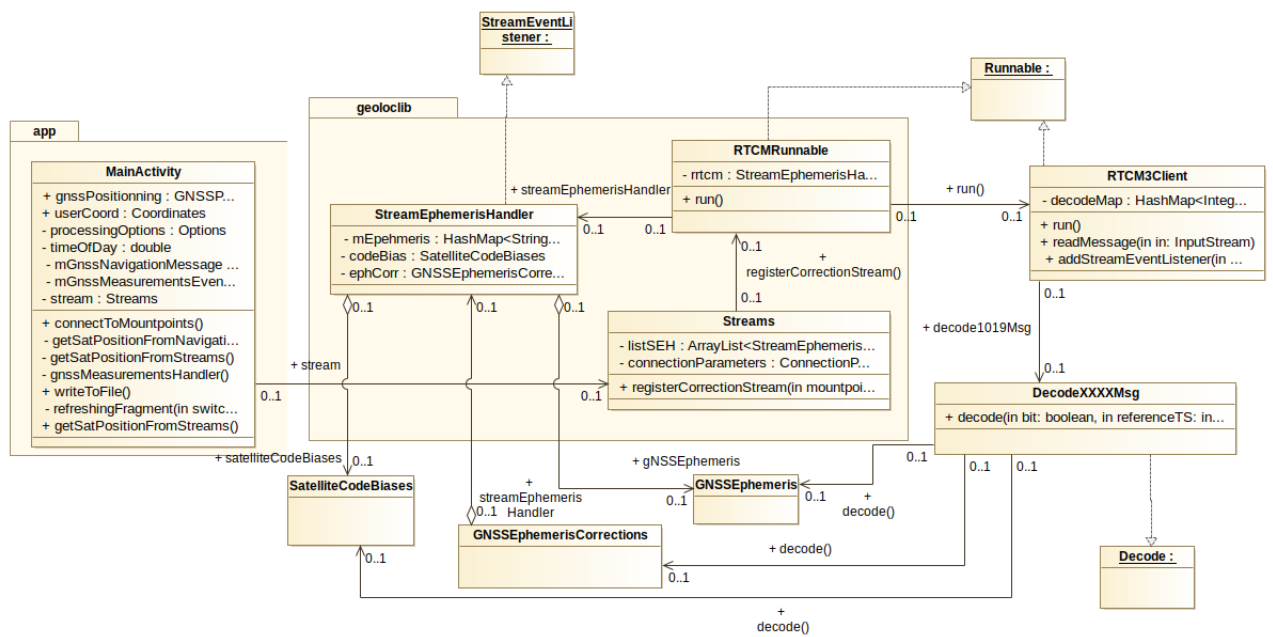


FIGURE 12 – Diagramme de classe simplifié des classes du package "gogps" utilisées par l'application et de leurs interactions

# Annexe B : Nouveau diagramme de classe de l'application

---



# Annexe C : Calcul du GAST

---

Dans le calcul de position des satellites il est nécessaire pour passer du repère [ECEF](#) au repère [ECI](#) en appliquant une rotation de  $theta_{Ge} = \theta_{G0} + \omega_e - 3hours$  [20].

**NB :** Avant de poursuivre je tiens à préciser que la documentation présente pour moi une réelle ambiguïté sur la désignation de  $\theta_{G0}$  : "the sidereal time in Greenwich at midnight GMT of a date at which the epoch  $t_e$  is specified" [20]. J'ai apparenté ce terme au [GAST](#) qui physiquement fait sens (et c'est aussi l'interprétation de la PYGNSTOOLBOX de J. Beilin) mais une autre page Navipédia [4] utilise cette même nomination pour le [GMST](#).

Le [GAST](#) correspond à l'angle entre le "true Greenwich meridian" et le "true Vernal equinox" [3].

On le calcul comme  $\Theta_G = \theta_G + \alpha_e$ .

Avec  $theta_G$  le [GMST](#) et  $\alpha_e$  les equations d'équinoxes [4].

## 1. Calcul du GMST

$$\theta_G = 1.002737909350795 * t_{UT1} + \theta_{G0}$$

$t_{UT1}$  le temps d'observation au format UT1

$$\theta_{G0} = 24110.54841 + 8640184.812866 * T + 0.093104 * T^2 - 0.0000062 * T^3 \text{ Avec } T = \frac{Julian-UT1-Date-2451545.0}{36525} \text{ la date en siècles juliens.}$$

## 2. Calcul des équations d'équinoxes

$$\alpha_e = \arctan \frac{N_{12}}{N_{11}}$$

Les  $N_{ij}$  sont les facteurs de la matrice de nutation tels que :

$$N_{11} = -\cos(\epsilon + \Delta\epsilon) * \sin(\Delta\psi)$$

$$N_{12} = \sin(\epsilon + \Delta\epsilon) * \sin(\Delta\psi) \text{ Les paramètres } \epsilon, \Delta\epsilon \text{ et } \Delta\psi \text{ sont calculé à partir des tables}$$

du modèle de nutation **IAU1980** [9].

# Annexe D : Algorithme de reconstruction de la date de validité

---

La date de validité du message de navigation n'est pas obtenue de manière immédiate mais doit être reconstruite à partir des *words*  $N_t$  "calendar number of day within four-year interval starting from a leap year" et  $N_4$  "the four-year interval number starting from 1996" grâce à l'algorithme suivant [18] :

Si  $1 < N_t < 366$  alors  $J = 1$  et  $DOY = N_t$   
Si  $367 < N_t < 731$  alors  $J = 1$  et  $DOY = N_t - 366$   
Si  $732 < N_t < 1096$  alors  $J = 1$  et  $DOY = N_t - 731$   
Si  $1097 < N_t < 1461$  alors  $J = 1$  et  $DOY = N_t - 1096$

On trouve l'année d'émission tel que  $Y = 1996 + 4 * (N_4 - 1) + (J - 1)$  et le jour dans l'année comme le  $DOY$ .